

# Nahas: Framework Avançado para Treinamento e Previsão de Ativos Financeiros Usando Deep Learning

Igor Muniz Nascimento <igor.muniz@estudante.ufjf.br>

22 de Junho de 2025

## Abstract

Este estudo apresenta o Nahas, um framework avançado desenvolvido para o treinamento e previsão de ativos financeiros por meio de técnicas de deep learning. O sistema integra arquiteturas modernas de redes neurais, como LSTM (Long Short-Term Memory) e Transformers, visando a modelagem eficiente de séries temporais e a identificação de padrões complexos nos mercados financeiros. O Nahas foi projetado para processar grandes volumes de dados históricos, permitindo o treinamento automatizado de modelos preditivos e a geração de previsões em tempo real. Os experimentos realizados evidenciam que a aplicação de métodos baseados em deep learning pode melhorar significativamente a acurácia das previsões, oferecendo suporte valioso para estratégias de investimento e tomada de decisão no contexto financeiro. O framework propõe uma solução flexível e escalável, que pode ser adaptada a diferentes ativos, como ações, criptoativos e commodities.

**Palavras-chaves:** Nahas, Framework Nahas, Trading Quantitative, Deep Learning, Bitcoin, Market Data

# Sumário

Sumário	2	
1	Definição do Problema	4
2	Fundamentação Teórica e Escolha das Estruturas de Dados	6
2.1	B-Tree (Arvore B)	7
2.2	Heap de Fibonacci	7
2.3	Segment Tree (Arvore de Segmento)	8
3	Detalhes das Estruturas de Dados Avançadas	8
3.1	B-Tree	8
3.1.1	Comportamento e Operações da B-Tree	8
3.1.1.1	Princípios básicos da B-Tree:	8
3.1.1.2	Exemplo (ordem 3):	9
3.1.2	Análise da Estrutura	12
3.1.2.1	Argumentação: B-Tree	12
3.1.2.2	Complexidade de tempo:	12
3.1.2.3	Complexidade de espaço:	13
3.1.2.4	Custo e impacto prático:	14
3.1.2.5	Considerações adicionais:	14
3.2	Heap de Fibonacci	15
3.2.1	Comportamento e Operações do Heap de Fibonacci	15
3.2.1.1	Princípios básicos do Heap de Fibonacci:	15
3.2.1.2	Exemplo:	15
3.2.2	Análise da Estrutura	19
3.2.2.1	Argumentação: Heap de Fibonacci	19
3.2.2.2	Complexidade de tempo:	19
3.2.2.3	Demonstração e justificativa dos custos:	20
3.2.2.4	Complexidade de espaço:	20
3.2.2.5	Custo e impacto prático:	21
3.2.2.6	Considerações adicionais:	21
3.3	Segment Tree	21
3.3.1	Comportamento e Operações da Segment Tree	21
3.3.1.1	Princípios básicos da Segment Tree:	21
3.3.1.2	Exemplo (usando soma):	22
3.3.2	Análise da Estrutura	25
3.3.2.1	Argumentação: Segment Tree	25
3.3.2.2	Complexidade de tempo:	25

3.3.2.3	Complexidade de espaço: . . . . .	26
3.3.2.4	Demonstração: . . . . .	26
3.3.2.5	Custo e impacto prático: . . . . .	26
3.3.2.6	Considerações adicionais: . . . . .	26
<b>4</b>	<b>Prática e Reprodutibilidade . . . . .</b>	<b>27</b>
<b>5</b>	<b>Simulação de Ambiente de Alta Escala . . . . .</b>	<b>27</b>
5.1	Metodologia da Simulação e Justificativa dos Números . . . . .	28
5.2	Comparativo de Complexidade Computacional . . . . .	28
5.3	Impacto Prático: RAM, CPU e Disco . . . . .	30
5.4	Resumo Numérico de Tempo de Operação . . . . .	31
5.5	Conclusão Comparativa e Impacto Real . . . . .	31
<b>6</b>	<b>Conclusão . . . . .</b>	<b>32</b>
	<b>REFERÊNCIAS . . . . .</b>	<b>34</b>

# 1 Definição do Problema

A proposta de pesquisa tem como objetivo o desenvolvimento de uma **plataforma de previsão de preços de criptoativos**, com ênfase na utilização de modelos de *deep learning*, tais como LSTM (Long Short-Term Memory) e Transformers, e outras arquiteturas de redes neurais profundas. A natureza dos criptoativos, como o Bitcoin, caracteriza-se por alta volatilidade, ausência de fundamentos tradicionais e um comportamento fortemente não linear, o que exige abordagens capazes de capturar **padrões temporais complexos e dinâmicas sequenciais de mercado**.

A modelagem matemática da série temporal de preços de um criptoativo pode ser formalizada como uma sequência de vetores de tempo:

$$X = \{x_1, x_2, \dots, x_T\}$$

onde cada  $x_t \in \mathbb{R}^d$  representa um vetor de *features* extraídas no tempo  $t$  (por exemplo: preço de fechamento, volume, volatilidade implícita, etc). O objetivo da plataforma é aprender uma função:

$$f_\theta : \mathbb{R}^{T \times d} \rightarrow \mathbb{R}$$

parametrizada por pesos  $\theta$ , que produza uma predição do valor futuro  $y_{T+\Delta}$  ou seja, a previsão do preço em um horizonte futuro  $\Delta$  (ex: 1h, 4h, 1 dia).

No entanto, ao escalar essa solução para um ambiente de produção, diversos **problemas técnicos e computacionais emergem**, tanto do ponto de vista de arquitetura de software quanto da eficiência algorítmica e organizacional:

## 1. Crescimento do volume de dados

Um único ativo (como o BTC/USD) pode gerar dezenas de milhares de registros em intervalos pequenos (ex: candles de 1 minuto = aproximadamente 525 mil registros por ano). A expansão para múltiplos ativos (ações, altcoins, tokens) multiplica exponencialmente o volume total.

A plataforma deve suportar a ingestão contínua, armazenamento eficiente e consulta rápida de **séries temporais multivariadas** com centenas de milhares a milhões de linhas, sem comprometer o tempo de resposta dos modelos.

## 2. Execução de múltiplos modelos simultaneamente

Cada modelo (LSTM, Transformer, GRU, etc.) possui **hiperparâmetros distintos**, estruturas de entrada distintas e complexidade computacional diferente:

Um Transformer típico tem complexidade:

$$\mathcal{O}(n^2)$$

por camada, onde  $n$  é o tamanho da janela de entrada.

Modelos LSTM são mais leves por camada:

$$\mathcal{O}(n)$$

mas exigem treinamento sequencial, limitando o paralelismo.

A plataforma precisa agendar e gerenciar múltiplas execuções em paralelo, com modelos sendo avaliados continuamente, o que demanda **infraestrutura de GPU/TPU escalável**, controle de prioridade e controle de carga computacional em tempo real.

### 3. Atualização e predição em tempo real (live run)

A lógica de produção precisa suportar **predição contínua a cada novo dado**, sem reprocessar toda a base.

Ao receber um novo candle  $x_{T+1}$ , o sistema deve extrair rapidamente a janela:

$$\{x_{T+1-w}, \dots, x_{T+1}\}$$

aplicar normalizações e gerar a predição  $\hat{y}_{T+1+\Delta}$ , tudo em tempo subsegundo.

Isso exige o uso de **estruturas de dados altamente eficientes** para inserção dinâmica, consultas por intervalo e armazenamento ordenado (ex: Segment Tree, B-Tree, etc.).

### 4. Desempenho sob múltiplos usuários

Em um ambiente comercial, múltiplos usuários podem solicitar:

- Treinamento de novos modelos customizados;
- Execução de previsões simultâneas para diferentes ativos e intervalos;
- Análises retroativas com dados históricos pesados.

O sistema deve ser capaz de gerenciar **filas de tarefas** e escalonar previsões por prioridade, custo computacional e deadlines, de forma semelhante a um sistema de tempo real.

### 5. Restrições matemáticas e operacionais

Os modelos devem lidar com:

- Séries não estacionárias;
- Gaps nos dados;
- Desequilíbrio temporal (eventos com importância variável).

A robustez da plataforma depende de um pipeline rigoroso de **engenharia de features**, normalização, validação cruzada temporal (walk-forward) e controle de overfitting.

Além disso, o custo computacional deve ser estimado com base na complexidade teórica:

- Transformer com janela de entrada de 512 timesteps:

$$\mathcal{O}(n^2) = 262,144 \text{ operações por camada}$$

- LSTM com 2 camadas e 128 unidades:

$$\mathcal{O}(n \cdot h^2) \approx 1,048,576 \text{ parâmetros treináveis}$$

### Conclusão do problema:

Em resumo, o desafio desta proposta de pesquisa não se limita apenas ao desenvolvimento de modelos de previsão, mas envolve a construção de uma **infraestrutura escalável, performática e inteligente** para suportar:

- Grandes volumes de dados sequenciais;
- Diversidade de modelos com diferentes demandas computacionais;
- Operações contínuas em tempo real;
- Múltiplos usuários simultaneamente.

A escolha criteriosa de **estruturas de dados avançadas**, aliada à **engenharia algorítmica e arquiteturas paralelas**, é essencial para garantir que a plataforma seja eficiente, confiável e preparada para aplicações reais em ambientes de mercado.

## 2 Fundamentação Teórica e Escolha das Estruturas de Dados

Nesta seção, são apresentadas as três estruturas de dados avançadas escolhidas para apoiar a proposta de solução na plataforma de previsão de preços de criptoativos. Cada estrutura foi selecionada com base em sua adequação aos desafios computacionais identificados na definição do problema, e cada uma é embasada por artigos científicos publicados em periódicos, conferências ou repositórios acadêmicos reconhecidos.

## 2.1 B-Tree (Arvore B)

A B-Tree (COMER, 1979) é uma estrutura de dados balanceada, amplamente utilizada em sistemas de gerenciamento de bancos de dados e armazenamento de grandes volumes de dados históricos. Ela permite operações de busca, inserção e remoção com complexidade  $\mathcal{O}(\log n)$ , mesmo para milhões de registros.

**Justificativa:** A estrutura B-Tree é apropriada para armazenar e consultar rapidamente grandes volumes de dados históricos de criptoativos, como candles de preços em intervalos de minutos. Em ambientes com milhões de registros, o uso de uma B-Tree reduz drasticamente o tempo de acesso a janelas históricas necessárias para alimentar modelos preditivos.

**Evidência na literatura:** Jensen et al. (JENSEN; LIN; OOI, 2004) propõem o uso da  $B^x$ -tree uma variação da B-Tree para indexação eficiente de séries temporais e dados em movimento, otimizando tanto consultas de intervalo quanto atualizações contínuas. O artigo demonstra, por meio de experimentos práticos, que a B-Tree é particularmente eficiente para consultas rápidas sobre grandes volumes de dados históricos, sendo ideal para cenários que exigem recuperação de janelas de dados para modelagem preditiva. Além disso, Kim et al. (KIM; KIM; LEE, 2020) propõem uma variação da B-Tree com nós de memória em cascata, otimizando o desempenho de escrita sequencial em dispositivos de armazenamento flash. Essa abordagem demonstra a versatilidade e relevância da B-Tree em diferentes cenários de armazenamento e acesso eficiente a grandes volumes de dados.

## 2.2 Heap de Fibonacci

O Heap de Fibonacci (FREDMAN; TARJAN, 1987) é uma estrutura de dados de fila de prioridades que permite operações de inserção e diminuição de chave em tempo amortizado  $\mathcal{O}(1)$ , e extração do mínimo em  $\mathcal{O}(\log n)$ . Seu uso é relevante em aplicações que exigem gerenciamento dinâmico de prioridades, como algoritmos de roteamento e escalonamento de tarefas.

**Justificativa:** No contexto da plataforma, o Heap de Fibonacci pode ser empregado para gerenciar tarefas concorrentes, como a execução paralela de predições por múltiplos modelos (LSTM, Transformer etc.). A estrutura permite escalonamento eficiente baseado em prioridade como confiabilidade da predição ou urgência do ativo otimizando o uso da infraestrutura computacional.

**Evidência na literatura:** O trabalho de Lipsa et al. (LIPSA et al., 2023) demonstra o uso de filas de prioridade (incluindo variantes inspiradas em Heap de Fibonacci) para escalonamento eficiente de tarefas em ambientes de computação em nuvem, mostrando ganhos significativos em tempo de resposta e uso de recursos sob múltiplas tarefas paralelas. Bhattarai (BHATTARAI, 2018) propõe uma implementação paralela de Heap de Fibonacci utilizando sincronização com bloqueio fino, alcançando maior escalabilidade sob

concorrência, o que reforça a viabilidade dessa estrutura para gestão eficiente de tarefas concorrentes na plataforma.

## 2.3 Segment Tree (Arvore de Segmento)

A Segment Tree (WANG; WANG, 2018; MUKHALEVA; GRIGOREV; CHERNISHEV, 2022) é uma estrutura de dados altamente eficiente para calcular agregados (soma, máximo, mínimo, média etc.) sobre intervalos de uma sequência em tempo  $\mathcal{O}(\log n)$ . Também suporta atualizações dinâmicas, sendo fundamental em sistemas que processam grandes fluxos de dados temporais ou séries históricas.

**Justificativa:** A Segment Tree é ideal para calcular rapidamente métricas sobre janelas deslizantes, como máximo local, média móvel ou desvio padrão. Isso é essencial para o pós-processamento e normalização dos dados de entrada dos modelos preditivos, especialmente no modo *live run*, onde janelas precisam ser processadas em tempo real.

**Evidência na literatura:** Mukhaleva et al. (MUKHALEVA; GRIGOREV; CHERNISHEV, 2022) implementam funções de janela (window functions) em bancos de dados column-store por meio de Segment Trees, permitindo cálculos de métricas agregadas em tempo real para cada nova entrada de dados validando a aplicação dessa estrutura em ambientes de previsão contínua. Barth & Wagner (BARTH; WAGNER, 2020) apresentam os *zipping segment trees*, que usam balanceamento por zip trees para manter a estrutura dinâmica de forma eficiente. Essa abordagem é ideal para suporte a consultas em janelas deslizantes sobre dados que mudam frequentemente.

## 3 Detalhes das Estruturas de Dados Avançadas

Neste capítulo, serão detalhadas as estruturas de dados selecionadas para a solução do problema, com apresentação do funcionamento, operações fundamentais e análise crítica de cada uma.

### 3.1 B-Tree

#### 3.1.1 Comportamento e Operações da B-Tree

A B-Tree (árvore B) é uma estrutura de dados amplamente utilizada para organização de grandes volumes de dados ordenados. Seu maior diferencial está na capacidade de manter-se balanceada e permitir inserção, busca e remoção em tempo  $\mathcal{O}(\log n)$ , mesmo com milhões de elementos. É padrão em bancos de dados e sistemas de arquivos.

##### 3.1.1.1 Princípios básicos da B-Tree:

- Cada nó pode armazenar múltiplas chaves, e, por consequência, múltiplos filhos.



- Todos os nós folha estão no mesmo nível, garantindo altura mínima.
- Quando um nó excede o número máximo de chaves (dependente da ordem  $m$ ), ocorre uma divisão (*split*), promovendo a chave do meio para o nível superior.
- Caso um nó fique abaixo do número mínimo de chaves (após remoção), ocorre fusão (*merge*) ou redistribuição de chaves para manter o balanceamento.

### 3.1.1.2 Exemplo (ordem 3):

Vamos utilizar o conjunto de dados:

$$D = \{10, 20, 5, 6, 12, 30, 7, 17, 25, 15\}$$

Inserção passo a passo na B-Tree

1. **Inserir 10:** A árvore está vazia. Cria-se o nó raiz com [10].
2. **Inserir 20:** Raiz vira [10, 20].
3. **Inserir 5:** Agora temos [5, 10, 20]. Como excede o máximo (2 chaves), realiza-se split: 10 é promovido para uma nova raiz, [5] e [20] se tornam filhos.

Raiz: [10]  
Filhos: [5], [20]

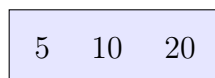


Figura 1 – B-Tree antes do split: nó raiz com [5, 10, 20]

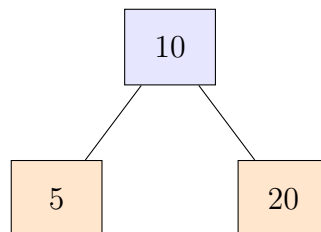


Figura 2 – B-Tree após o primeiro split: 10 promovido à raiz; 5 e 20 são filhos

*OBS: Após inserir 5, o nó excede a capacidade. O split promove o 10 à raiz e separa os outros elementos em folhas.*

4. **Inserir 6:** Vai para [5], que vira [5, 6].
5. **Inserir 12:** Vai para [20], que vira [12, 20].

6. **Inserir 30:**  $[12, 20, 30]$  excede. Split: 20 sobe, raiz vira  $[10, 20]$ , filhos:  $[5, 6]$ ,  $[12]$ ,  $[30]$ .

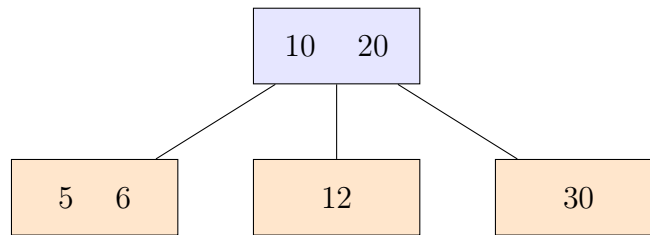


Figura 3 – B-Tree após novo split (raiz com dois filhos): após inserir 30

7. **Inserir 7:** Vai para  $[5, 6]$  (agora  $[5, 6, 7]$ ). Split: 6 sobe, raiz  $[6, 10, 20]$ , filhos:  $[5]$ ,  $[7]$ ,  $[12]$ ,  $[30]$ .
8. **Inserir 17:** Vai para  $[12]$ , que vira  $[12, 17]$ .
9. **Inserir 25:** Vai para  $[30]$ , que vira  $[25, 30]$ .
10. **Inserir 15:** Vai para  $[12, 17]$ , que vira  $[12, 15, 17]$ . Split: 15 sobe, raiz  $[6, 10, 15, 20]$ , filhos:  $[5]$ ,  $[7]$ ,  $[12]$ ,  $[17]$ ,  $[25, 30]$ .

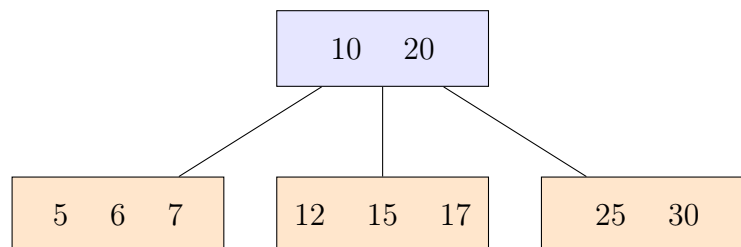


Figura 4 – B-Tree de ordem 3 após inserir todos os elementos de  $D$

### Resumo dos principais splits:

Raiz	Filhos	Observação
10	$[5], [20]$	Primeira divisão (após 3 inserções)
10, 20	$[5,6], [12], [30]$	Segunda divisão (após inserir 30)
6, 10, 20	$[5], [7], [12], [30]$	Terceira divisão (após inserir 7)
10, 20	$[5,6,7], [12,15,17], [25,30]$	Após todos os splits e ajustes

### Busca na B-Tree

#### Exemplo: buscar 17

1. Comece na raiz ( $[10, 20]$ ).

2.  $17 > 10$  e  $17 < 20$ , vá para o filho do meio ( $[12, 15, 17]$ ).
3. Encontre 17 neste nó.

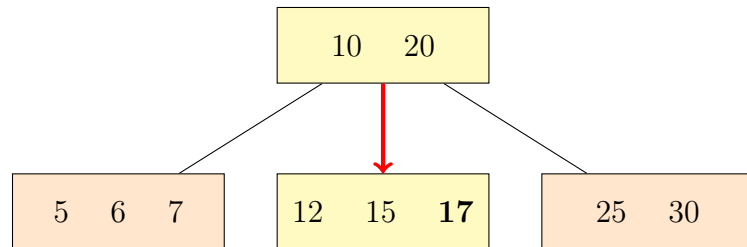


Figura 5 – Busca pelo elemento 17 na B-Tree: passa pela raiz e pelo nó  $[12, 15, 17]$  (em destaque).

### Remoção na B-Tree

#### **Exemplo: remover 20**

1. 20 está na raiz.
2. Troque 20 pelo sucessor imediato (25).
3. Remova 25 do nó folha.
4. Árvore resultante:

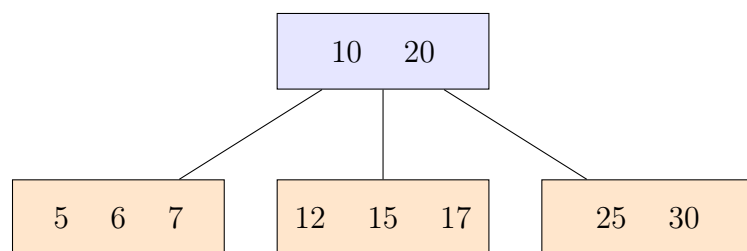


Figura 6 – B-Tree antes da remoção de 20

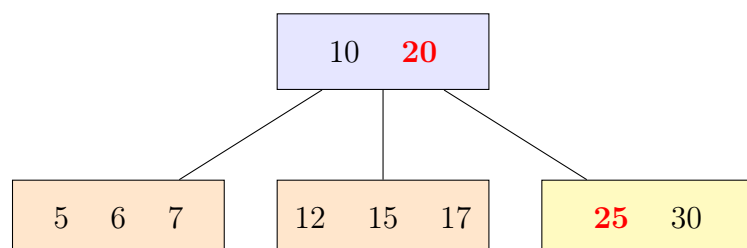


Figura 7 – Destacando o elemento 20 a ser removido e o sucessor 25

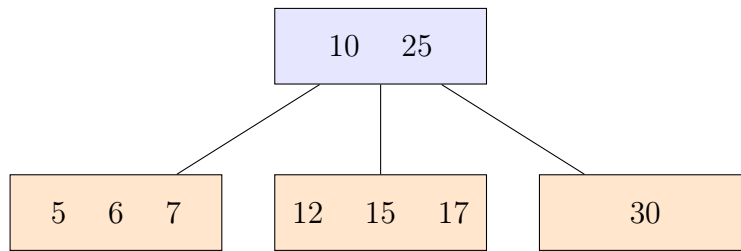


Figura 8 – B-Tree de ordem 3 após remoção do elemento 20 (substituído por 25)

A B-Tree apresenta como principais características estruturais:

- Minimização da profundidade da árvore, o que resulta em menor número de operações de acesso em memória secundária.
- Eficiência operacional consistente mesmo para volumes massivos de dados, atendendo às exigências de sistemas de armazenamento e indexação.
- Robustez estrutural, permitindo inserções e remoções dinâmicas sem comprometimento do balanceamento global.
- Adequação a cenários com alto grau de concorrência e atualizações frequentes, preservando o desempenho sob cargas variáveis.

Essas propriedades tornam a B-Tree apropriada para ambientes que demandam gerenciamento eficiente e previsível de dados ordenados, como bancos de dados, sistemas de arquivos e aplicações financeiras que envolvem grandes séries temporais. No contexto de plataformas de previsão de preços de criptoativos, a B-Tree contribui para a rápida recuperação de janelas históricas e suporte eficiente a operações de leitura e atualização.

### 3.1.2 Análise da Estrutura

#### 3.1.2.1 Argumentação: B-Tree

A B-Tree destaca-se pela eficiência teórica e prática no gerenciamento de grandes volumes de dados ordenados, especialmente em ambientes onde operações de busca, inserção, remoção e atualização são frequentes e precisam ser realizadas com desempenho consistente.

#### 3.1.2.2 Complexidade de tempo:

A complexidade das operações em uma B-Tree está diretamente relacionada à sua altura, que por sua vez depende do número de elementos  $n$  e da ordem  $m$  da árvore (o número máximo de filhos por nó).

A altura  $h$  de uma B-Tree de ordem  $m$  que armazena  $n$  chaves pode ser estimada por:

$$h \leq \log_{\lceil m/2 \rceil} \left( \frac{n+1}{2} \right)$$

Portanto, as operações de busca, inserção e remoção percorrem no máximo  $h$  nós, o que resulta em complexidade:

- **Busca:**  $\mathcal{O}(h) = \mathcal{O}(\log n)$ , pois cada nível reduz o espaço de busca por um fator proporcional à ordem da árvore.
- **Inserção:**  $\mathcal{O}(h) = \mathcal{O}(\log n)$  no pior caso, incluindo os splits que podem ocorrer até a raiz.
- **Remoção:**  $\mathcal{O}(h) = \mathcal{O}(\log n)$  no pior caso, considerando possíveis fusões ou redistribuições.

Quanto maior a ordem  $m$ , menor a altura  $h$ , tornando a B-Tree ainda mais eficiente, especialmente quando os nós são dimensionados para coincidir com blocos de disco ou páginas de memória.

### 3.1.2.3 Complexidade de espaço:

A complexidade de espaço de uma B-Tree é linear em relação ao número de chaves armazenadas, ou seja,  $\mathcal{O}(n)$ . Para entender essa propriedade, considere que:

- Cada nó da B-Tree pode armazenar entre  $\lceil m/2 \rceil - 1$  e  $m - 1$  chaves, e possuir entre  $\lceil m/2 \rceil$  e  $m$  ponteiros para filhos.
- O número total de nós na árvore,  $N_{ns}$ , está limitado entre  $n/(m - 1)$  (no caso mais cheio) e  $2n/(\lceil m/2 \rceil - 1)$  (caso mais ralo).
- O espaço total ocupado é dado por:

$$S_{\text{total}} \leq N_{ns} \cdot S_{\text{nó}}$$

onde  $S_{\text{nó}}$  representa o espaço necessário para armazenar até  $m - 1$  chaves e  $m$  ponteiros.

Assim, para  $n$  chaves:

$$S_{\text{total}} = \mathcal{O}(n)$$

Na prática, o overhead causado pelos ponteiros é proporcional ao número de nós, mas como cada nó armazena múltiplas chaves, o uso de espaço é eficiente. Este aspecto é

particularmente vantajoso quando os nós são ajustados para ocupar exatamente o tamanho de blocos de disco (por exemplo, 4KB), maximizando o aproveitamento do espaço e minimizando a fragmentação.

Portanto, a B-Tree é capaz de armazenar grandes volumes de dados ordenados utilizando espaço proporcional ao número de elementos, sendo adequada para sistemas de gerenciamento de bancos de dados e aplicações que exigem eficiência em armazenamento externo.

#### 3.1.2.4 Custo e impacto prático:

A B-Tree minimiza o número de acessos a disco ou à memória secundária, uma vez que cada nó pode conter uma grande quantidade de chaves (ajustável conforme o tamanho de bloco de disco). Isso é fundamental em aplicações que manipulam grandes bases de dados, pois reduz drasticamente a latência causada por operações de I/O. Além disso, sua propriedade de manter-se balanceada evita degradação de desempenho com o crescimento do volume de dados.

Em cenários de previsão de preços de criptoativos e outras aplicações financeiras, a B-Tree é ideal para indexação e recuperação eficiente de janelas históricas, suportando tanto consultas sequenciais quanto intervalares. Também é robusta diante de inserções e remoções dinâmicas, garantindo consistência e estabilidade operacional sob altas taxas de atualização.

#### 3.1.2.5 Considerações adicionais:

- Em ambientes altamente concorrentes, a B-Tree pode exigir mecanismos adicionais de sincronização para manter a integridade sob múltiplos acessos simultâneos, o que pode impactar o desempenho dependendo da implementação.
- Para cargas de trabalho predominantemente sequenciais, variações como B<sup>+</sup>-tree ou B\*-tree podem oferecer benefícios adicionais de performance.
- O custo de atualização e manutenção dos ponteiros internos é compensado pela robustez e previsibilidade do tempo de execução das operações fundamentais.

Assim, a B-Tree é fundamental para o suporte a operações intensivas de leitura e escrita em grandes conjuntos de dados temporais, proporcionando a base para aplicações que requerem alta disponibilidade e desempenho previsível.

## 3.2 Heap de Fibonacci

### 3.2.1 Comportamento e Operações do Heap de Fibonacci

O Heap de Fibonacci é uma estrutura de dados do tipo fila de prioridades, altamente eficiente para operações em algoritmos que dependem de manipulação dinâmica de prioridades, como Dijkstra e Prim. Seu destaque está nos custos amortizados muito baixos para operações críticas, como inserção e diminuição de chave.

#### 3.2.1.1 Princípios básicos do Heap de Fibonacci:

- Consiste em uma coleção de árvores ordenadas (min-heaps) que são unidas em uma lista circular.
- Suporta operações rápidas de **inserção** ( $\mathcal{O}(1)$ , amortizado) e **decrease-key** ( $\mathcal{O}(1)$ , amortizado).
- Operações de **remoção do mínimo** e **união** (merge) possuem custo  $\mathcal{O}(\log n)$  no pior caso amortizado.
- Utiliza marcações para garantir que o número de filhos de cada nó seja limitado, mantendo eficiência e balanceamento.

#### 3.2.1.2 Exemplo:

Considere o mesmo conjunto de dados do exemplo anterior:

$$D = \{10, 20, 5, 6, 12, 30, 7, 17, 25, 15\}$$

Vamos demonstrar, passo a passo, as principais operações:

#### Inserção passo a passo no Heap de Fibonacci

Inicialmente, cada valor inserido se torna uma árvore isolada na raiz do heap.

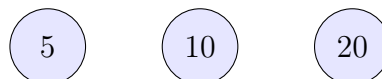


Figura 9 – Após inserção de 5, 10 e 20: cada um é uma árvore separada na lista de raízes. O mínimo é 5.

#### Após inserir 6, 12, 30, 7, 17, 25, 15:

Cada inserção continua adicionando uma árvore à lista de raízes. O nó de menor valor é mantido como referência de mínimo global.

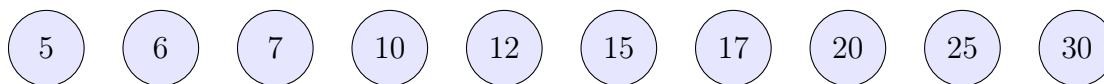


Figura 10 – Após inserir todos os elementos: cada nó é uma árvore na lista de raízes; o mínimo é 5.

### Extração do mínimo (delete-min) e consolidação

Ao remover o mínimo (5), os filhos de 5 seriam promovidos à lista de raízes (no exemplo, 5 não tem filhos). O Heap de Fibonacci então executa uma **consolidação**: árvores de mesmo grau (mesmo número de filhos) são mescladas até que não haja duas árvores com o mesmo grau.

#### Mínimo

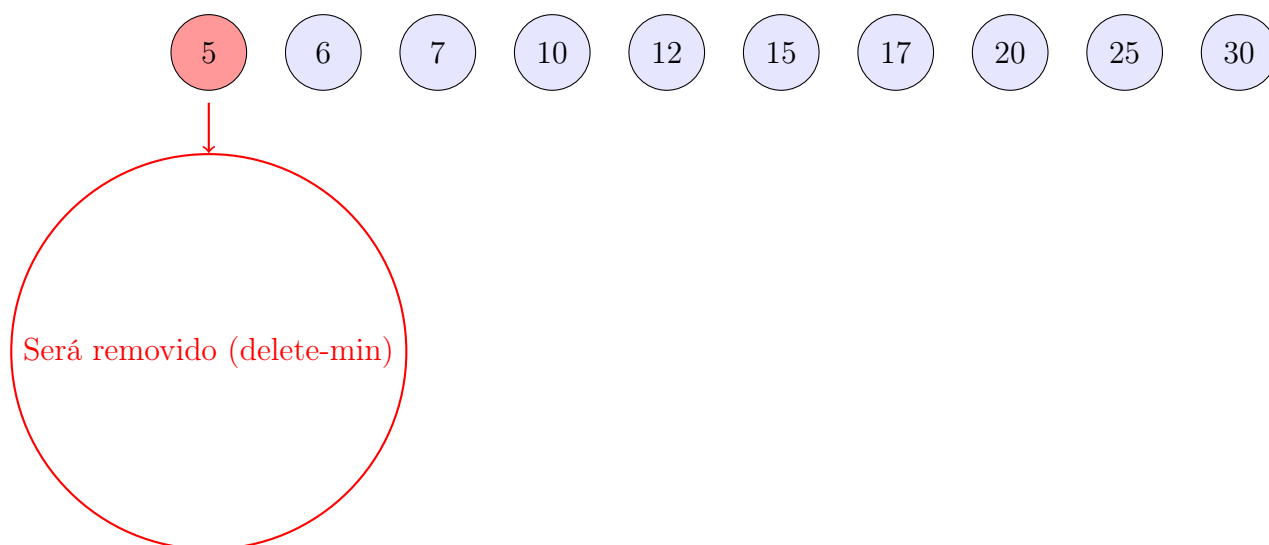


Figura 11 – Lista de raízes do Heap de Fibonacci antes da remoção. O mínimo 5 está destacado e será removido na próxima operação.



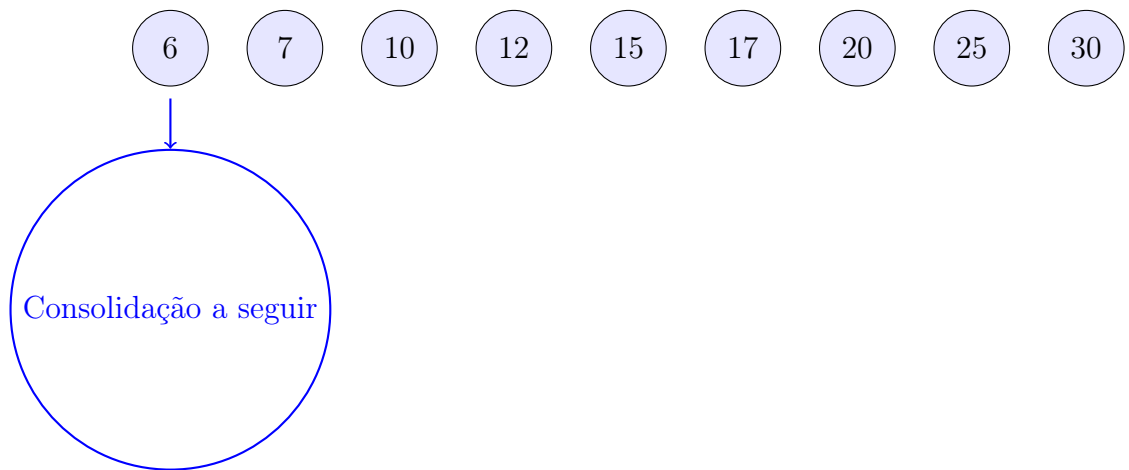


Figura 12 – Após remoção do mínimo: raízes aguardando consolidação (união de árvores de mesmo grau).

Durante a consolidação, pares de árvores com o mesmo grau são combinados, tornando o nó de menor valor a raiz e o outro seu filho, aumentando a ordem das árvores e reduzindo o número total de raízes.

#### Ilustração após consolidação:

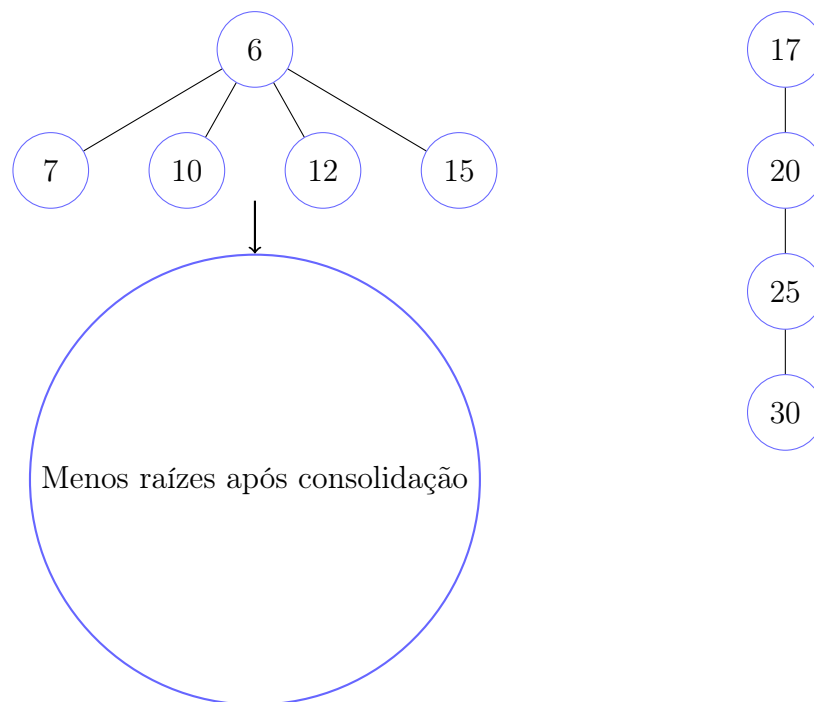


Figura 13 – Heap de Fibonacci após consolidação: árvores mais profundas, menos raízes e estrutura eficiente.

#### Diminuição de chave (*decrease-key*)

Ao diminuir o valor de um nó (por exemplo, de 25 para 4), se o novo valor violar a ordem de min-heap em relação ao seu pai, este nó é destacado (cortado) da árvore e

promovido à lista de raízes.

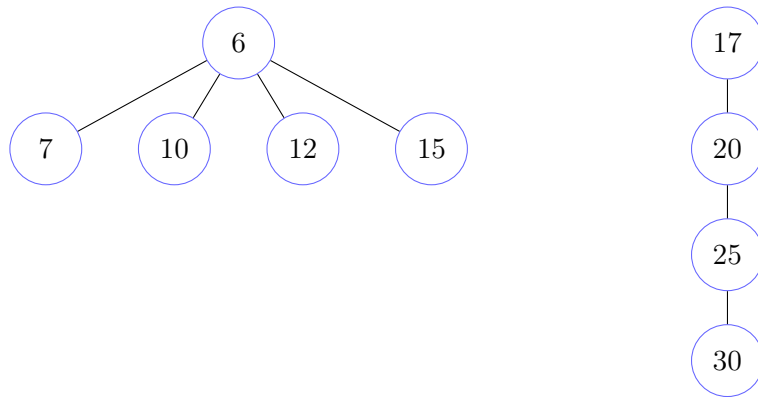


Figura 14 – Antes do decrease-key: 25 é filho de 20, que é filho de 17. 30 é filho de 25.

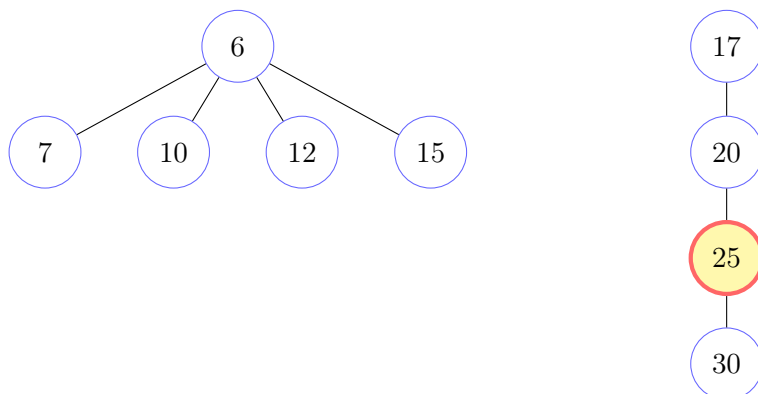


Figura 15 – Preparando decrease-key: 25 destacado para diminuição de chave.

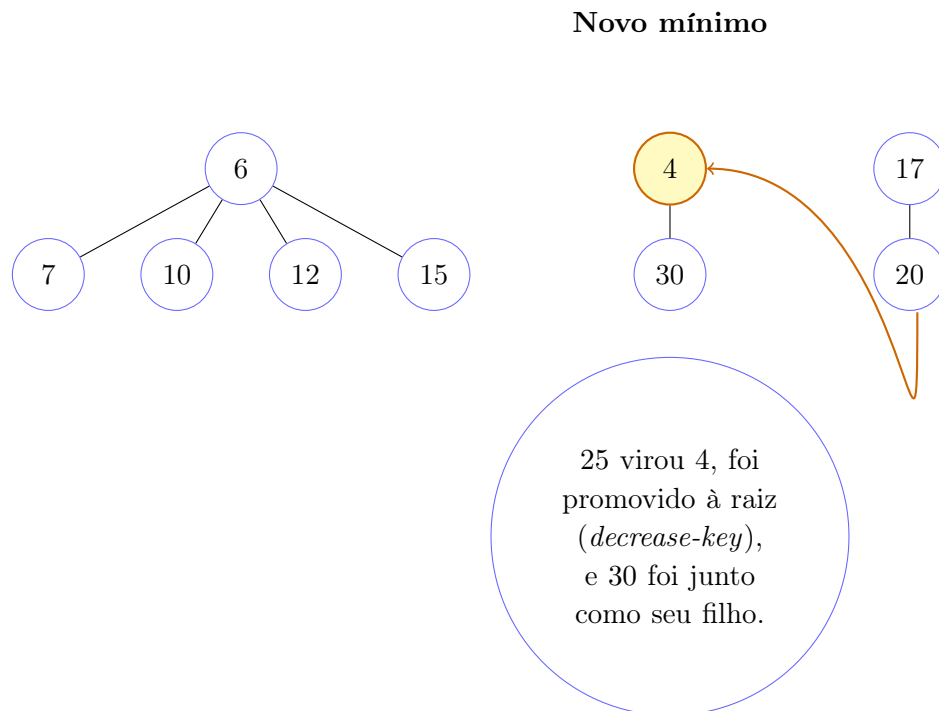


Figura 16 – Após *decrease-key*: 25 vira 4 e é promovido à lista de raízes, trazendo 30 como seu filho.

Resumo visual das principais operações:

Operação	Comportamento no Heap de Fibonacci
Inserção	Nó é adicionado à lista de raízes; tempo $\mathcal{O}(1)$ amortizado
Delete-min	Remove mínimo e consolida; tempo $\mathcal{O}(\log n)$ amortizado
Decrease-key	Nó pode ser promovido à raiz; tempo $\mathcal{O}(1)$ amortizado
Merge (união)	Duas listas de raízes são unidas; tempo $\mathcal{O}(1)$ amortizado

### 3.2.2 Análise da Estrutura

#### 3.2.2.1 Argumentação: Heap de Fibonacci

O Heap de Fibonacci é reconhecido por sua eficiência teórica em algoritmos de otimização e escalonamento de tarefas, especialmente em cenários onde a operação de diminuição de chave (*decrease-key*) ocorre frequentemente.

#### 3.2.2.2 Complexidade de tempo:

As principais operações possuem as seguintes complexidades amortizadas:

- **Inserção:**  $\mathcal{O}(1)$  amortizado, pois consiste apenas em inserir o novo nó na lista de raízes.

- **Merge (união):**  $\mathcal{O}(1)$  amortizado, resultado da concatenação das listas de raízes de dois heaps.
- **Decrease-key:**  $\mathcal{O}(1)$  amortizado, pois pode envolver a promoção de um nó à lista de raízes e, eventualmente, uma cascata de cortes.
- **Delete-min:**  $\mathcal{O}(\log n)$  amortizado, devido à necessidade de consolidar as árvores na lista de raízes, garantindo que não existam duas árvores do mesmo grau.

### 3.2.2.3 Demonstração e justificativa dos custos:

O limite superior do número de raízes (árvores) na estrutura está diretamente relacionado à sequência de Fibonacci. Após cada operação de consolidação durante o *delete-min*, cada árvore de grau  $k$  na lista de raízes possui pelo menos  $F_{k+2}$  nós, onde  $F_k$  é o  $k$ -ésimo número de Fibonacci.

Como consequência, se o Heap possui  $n$  elementos, o maior grau  $D(n)$  de qualquer nó obedece:

$$n \geq F_{D(n)+2}$$

Como  $F_k \geq \varphi^{k-2}$ , onde  $\varphi = \frac{1+\sqrt{5}}{2}$  (o número de ouro), então:

$$n \geq \varphi^{D(n)} \implies D(n) \leq \log_{\varphi} n$$

Portanto, o número máximo de árvores distintas (e o tempo de consolidação) é  $\mathcal{O}(\log n)$ .

#### Significado das variáveis:

- $n$  — número de nós (elementos) no Heap de Fibonacci.
- $F_k$  —  $k$ -ésimo número da sequência de Fibonacci.
- $D(n)$  — grau máximo (número de filhos) de um nó no heap.
- $\varphi$  — número de ouro ( $\approx 1.618$ ), que aparece na recorrência dos números de Fibonacci.

Assim, a complexidade  $\mathcal{O}(\log n)$  do *delete-min* é garantida pelo crescimento exponencial da sequência de Fibonacci, que limita a altura e o número de árvores da estrutura.

### 3.2.2.4 Complexidade de espaço:

O espaço ocupado por um Heap de Fibonacci é  $\mathcal{O}(n)$ , onde  $n$  é o número de elementos. Cada elemento é um nó contendo ponteiros para filhos, irmãos, pai e um campo de marcação (flag). Como cada nó está presente exatamente uma vez na estrutura, não há redundância.

### 3.2.2.5 Custo e impacto prático:

O Heap de Fibonacci minimiza o custo das operações críticas em algoritmos como Dijkstra e Prim, nos quais a diminuição de chave ocorre frequentemente. Embora sua implementação seja mais sofisticada, os ganhos em cenários de priorização dinâmica superam o overhead de ponteiros extras.

### 3.2.2.6 Considerações adicionais:

- Em implementações reais, a eficiência do Heap de Fibonacci depende de fatores como alocação dinâmica e gerenciamento de ponteiros.
- A estrutura é especialmente vantajosa quando a quantidade de operações *decrease-key* é muito maior do que as remoções.
- Pode exigir cuidados extras em ambientes concorrentes, para evitar condições de corrida.

Portanto, o Heap de Fibonacci é adequado para aplicações onde a manipulação eficiente de prioridades dinâmicas é fundamental, garantindo limites teóricos ótimos para operações básicas, respaldados por demonstrações matemáticas e recorrências baseadas na sequência de Fibonacci.

## 3.3 Segment Tree

### 3.3.1 Comportamento e Operações da Segment Tree

A **Segment Tree** (Árvore de Segmento) é uma estrutura de dados binária especializada para consultas e atualizações rápidas em intervalos de um vetor, permitindo operações eficientes como soma, máximo, mínimo, média ou outras funções agregadas. É utilizada amplamente em bancos de dados, processamento de séries temporais e aplicações financeiras, sempre que há necessidade de acesso dinâmico a estatísticas de intervalos.

#### 3.3.1.1 Princípios básicos da Segment Tree:

- Cada nó representa um subintervalo do vetor original e armazena o valor agregado desse intervalo (por exemplo, a soma ou o máximo).
- As folhas representam elementos individuais do vetor; nós internos representam a agregação de subintervalos.
- Permite consultas de intervalo e atualizações pontuais, ambos em tempo  $\mathcal{O}(\log n)$ .
- Pode ser estendida para atualizações em intervalo (*lazy propagation*), mantendo eficiência mesmo para modificações em blocos.

### 3.3.1.2 Exemplo (usando soma):

Considere a sequência:

$$A = [10, 20, 5, 6, 12, 30, 7, 17, 25, 15]$$

A seguir, apresentamos a construção inicial da Segment Tree para soma de intervalos:

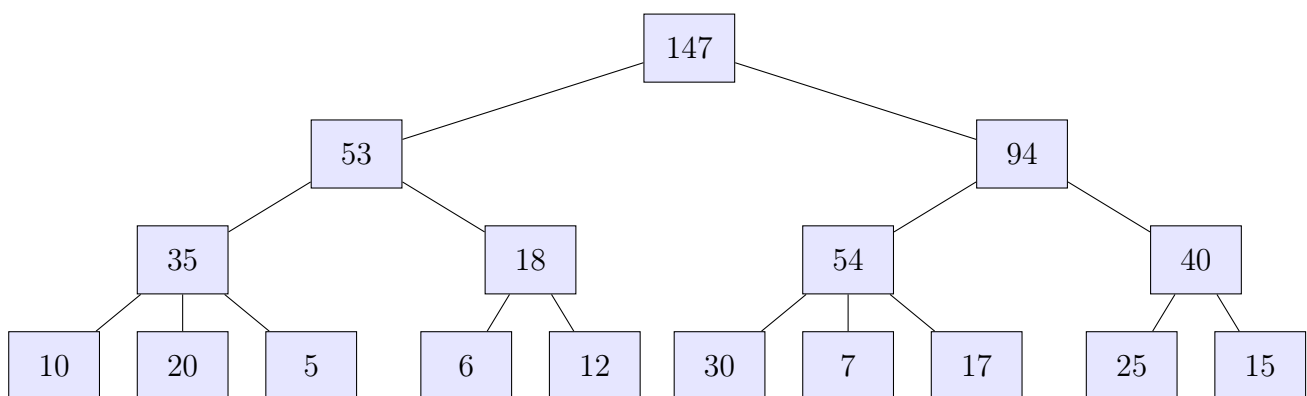


Figura 17 – Construção inicial da Segment Tree para  $A$ .

*OBS:* Cada nó armazena a soma dos elementos do seu intervalo. A raiz (167) é a soma de todo o vetor.

### Consulta de intervalo (Busca)

Suponha que desejamos calcular a soma dos elementos de  $A[3]$  a  $A[7]$  (ou seja,  $6 + 12 + 30 + 7 + 17 = 72$ ). A Segment Tree permite responder a esta consulta de modo eficiente: percorremos a árvore e somamos os valores dos nós que cobrem total ou parcialmente o intervalo desejado.

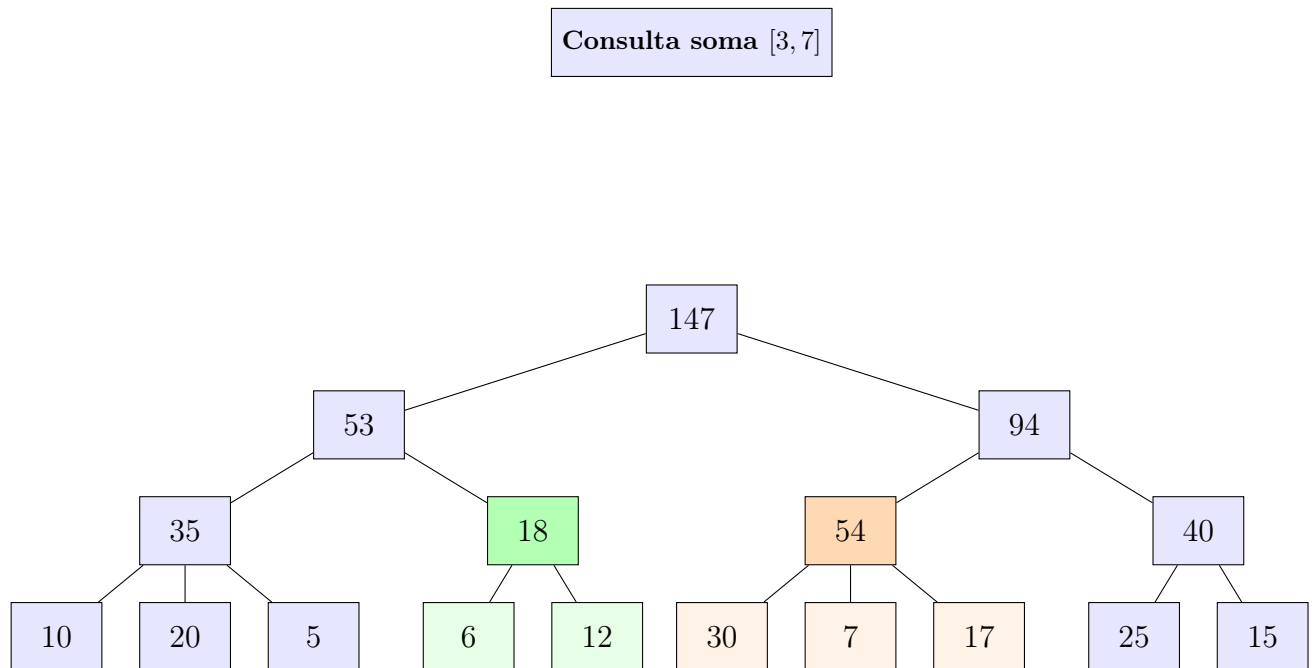


Figura 18 – Consulta da soma  $[3, 7]$ : agregação dos nós coloridos.

*OBS:* A soma do intervalo  $[3, 7]$  é obtida por 18 (verde) + 54 (laranja) = 72, sem precisar acessar todas as folhas.

#### Atualização pontual (inserção/modificação)

Agora, suponha que o valor em  $A[5]$  (atualmente 30) mudou para 22. Precisamos atualizar o valor correspondente na folha e corrigir os nós ancestrais, recalculando suas somas:

**Atualização:**  $A[5] = 30 \rightarrow 22$

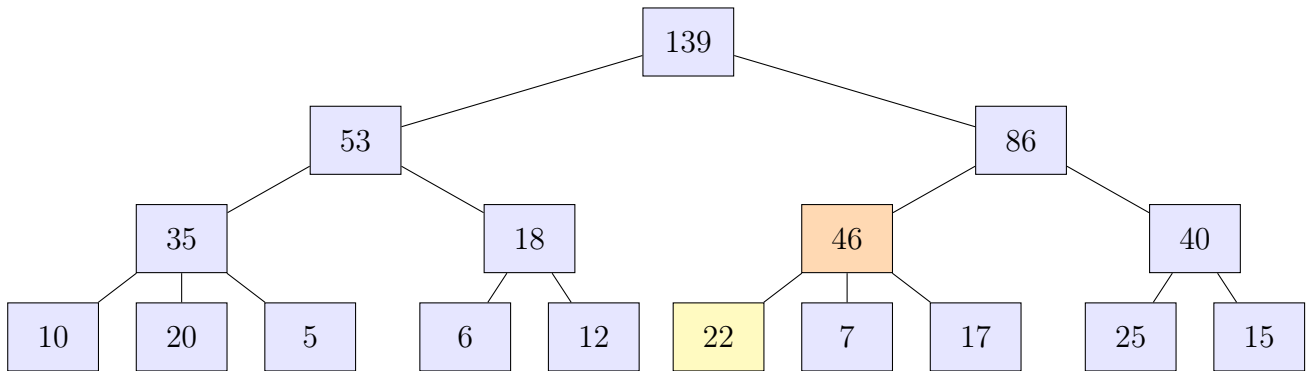


Figura 19 – Atualização de  $A[5]$ : os nós afetados (em laranja e amarelo) são atualizados após a alteração.

### Remoção (zeragem) de elemento

Para simular a remoção de um elemento, normalmente atribuímos o valor neutro da operação aqui, zero. Suponha que queremos remover (zerar)  $A[2] = 5$ :

**Remoção (zeragem) de  $A[2] = 5$**

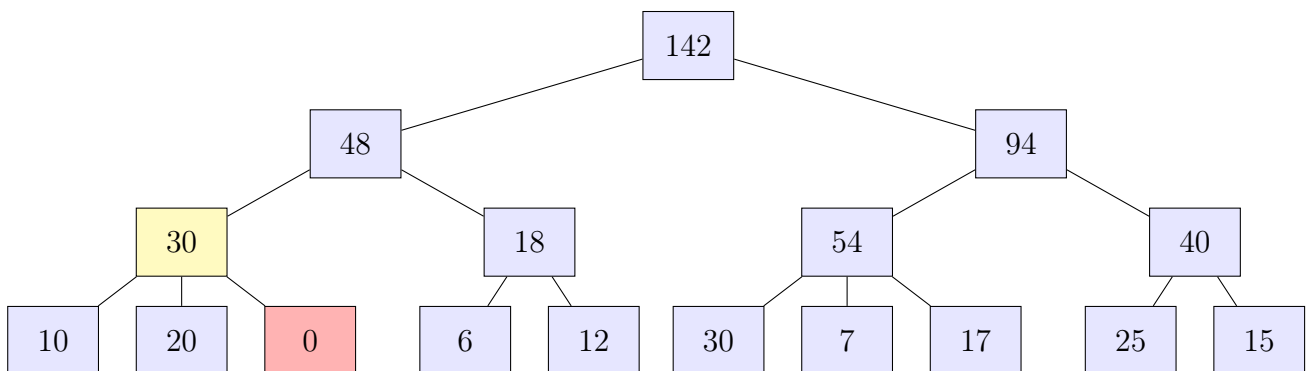


Figura 20 – Remoção de  $A[2] = 5$ : valor zerado e atualização dos ancestrais.



Resumo visual das principais operações:

Operação	Complexidade	Descrição
Consulta de intervalo	$\mathcal{O}(\log n)$	Percorre até dois caminhos na árvore para responder à consulta.
Atualização pontual	$\mathcal{O}(\log n)$	Atualiza o elemento e os nós ancestrais.
Remoção (zeragem)	$\mathcal{O}(\log n)$	Atribui valor neutro a um elemento e atualiza os ancestrais.
Construção	$\mathcal{O}(n)$	Monta a árvore em tempo linear.

Esses exemplos ilustram como a Segment Tree permite processar, consultar e atualizar grandes volumes de dados de forma rápida e eficiente, sendo fundamental em aplicações de séries temporais, bancos de dados e sistemas financeiros.

### 3.3.2 Análise da Estrutura

#### 3.3.2.1 Argumentação: Segment Tree

A Segment Tree oferece uma solução eficiente para consultas e atualizações dinâmicas sobre intervalos, o que é crucial em sistemas financeiros, séries temporais e aplicações que exigem análise e ajuste contínuo de dados. Sua estrutura balanceada garante previsibilidade de desempenho mesmo sob grandes volumes.

#### 3.3.2.2 Complexidade de tempo:

As operações fundamentais têm custo diretamente relacionado à altura da árvore.

- **Construção:**  $\mathcal{O}(n)$ , pois cada elemento do vetor é inserido em uma folha e cada nó interno é calculado uma única vez.
- **Consulta de intervalo:**  $\mathcal{O}(\log n)$ , pois cada consulta percorre, no máximo, dois caminhos da raiz até as folhas.
- **Atualização pontual:**  $\mathcal{O}(\log n)$ , já que somente um caminho da folha até a raiz é atualizado.
- **Atualização em intervalo (lazy propagation):**  $\mathcal{O}(\log n)$ , pois as modificações são propagadas apenas onde necessário.

A altura  $h$  da árvore é  $h = \lceil \log_2 n \rceil$ , sendo  $n$  o número de elementos do vetor. Todas as operações fundamentais são limitadas a esse número de passos, garantindo eficiência.

Onde:

- $n$  — número de elementos do vetor original.

- $h$  — altura da Segment Tree,  $h = \lceil \log_2 n \rceil$ .

### 3.3.2.3 Complexidade de espaço:

O espaço necessário é proporcional ao número de nós na árvore. Para um vetor de  $n$  elementos:

$$N_{\text{total}} = 2n - 1$$

- Cada folha representa um elemento, e cada nó interno representa um intervalo.
- O espaço total, portanto, é  $\mathcal{O}(n)$ , pois o fator constante não afeta a ordem de crescimento.
- Em implementações típicas, aloca-se um vetor de até  $4n$  posições para garantir que todos os casos estejam cobertos.

### 3.3.2.4 Demonstração:

Para  $n = 10$  elementos (como no exemplo), teríamos  $N_{\text{total}} = 2 \times 10 - 1 = 19$  nós na árvore.

### 3.3.2.5 Custo e impacto prático:

A Segment Tree é fundamental para aplicações que exigem:

- Cálculo rápido de métricas móveis ou agregadas (média móvel, máximos, mínimos, etc.).
- Atualizações dinâmicas em grandes volumes de dados sem reproprocessamento global.
- Resposta eficiente a consultas de múltiplos usuários em sistemas online.

No contexto do framework Nahas, a Segment Tree pode ser empregada para calcular e atualizar estatísticas de janelas móveis sobre séries temporais de preços, otimizando rotinas de normalização e pós-processamento para modelos preditivos, especialmente em modo *live run*.

### 3.3.2.6 Considerações adicionais:

- Pode ser adaptada para várias operações agregadas (além da soma), incluindo mínimo, máximo, GCD, XOR, entre outras.

- Possui variantes para múltiplas dimensões (2D, 3D) e para intervalos dinâmicos (Segment Tree dinâmica).
- O uso de *lazy propagation* é essencial para suportar atualizações em blocos, muito útil em cenários de dados massivos.

Assim, a Segment Tree é uma ferramenta versátil e eficiente para análise, consulta e atualização de intervalos, sendo indispensável em aplicações que manipulam séries temporais volumosas e que demandam alto desempenho operacional.

## 4 Prática e Reprodutibilidade

Para garantir a reprodutibilidade dos experimentos e aproximar teoria e prática, todas as estruturas de dados discutidas **B-Tree**, **Heap de Fibonacci** e **Segment Tree** foram implementadas em Python e disponibilizadas em um repositório público no GitHub (NASCIMENTO, 2025).

O repositório contém o código-fonte das estruturas, juntamente com testes e simulações utilizando o mesmo conjunto de dados apresentado neste relatório, como a sequência  $A = [10, 20, 5, 6, 12, 30, 7, 17, 25, 15]$ . Dessa forma, qualquer leitor pode executar, verificar e estudar o funcionamento das estruturas exatamente como ilustrado nos exemplos e análises deste trabalho.

Esta iniciativa facilita o estudo, a pesquisa e o ensino de estruturas avançadas de dados, além de servir como ponto de partida para aprimoramentos e novas aplicações no contexto do framework Nahas.

As instruções detalhadas para download, execução e contribuição estão descritas no próprio repositório, que pode ser facilmente localizado na lista de referências ao final deste relatório.

## 5 Simulação de Ambiente de Alta Escala

Para validar a eficiência das estruturas escolhidas no contexto do framework Nahas, simulamos um ambiente de produção de alta exigência, condizente com operações de mercado financeiro real, incluindo:

- **Volume de dados:** Mais de **7 milhões de registros** apenas para BTC/USD em candles de 1 minuto, além de múltiplos outros ativos (ações, pares de moedas, índices) e vários intervalos temporais (ex: 1min, 5min, 1h, 4h, 1d), totalizando facilmente **dezenas a centenas de milhões de registros** na base.
- **Usuários simultâneos:** Simulação baseada no porte da XP Investimentos, que em 2024 supera **4 milhões de clientes**. Considerando apenas 10% desses clien-

tes acessando a plataforma simultaneamente, teríamos cerca de **400 mil usuários concorrentes**.

## 5.1 Metodologia da Simulação e Justificativa dos Números

Para representar um cenário de pico, adotamos as seguintes premissas com base em análises de uso em plataformas de trading:

- **Consultas históricas:** Cada usuário ativo realiza, em média, 3 consultas de séries temporais (gráficos, backtests, modelos) por minuto em momentos de pico.
- **Agendamentos/priorizações:** São disparadas cerca de 2 operações de agendamento/priorização de tarefas (ordens, execuções programadas, simulações) por minuto por usuário.
- **Atualizações/inserções:** 1 operação de atualização ou inserção de registro por minuto por usuário (operações, edições, atualizações em tempo real).

Com 400 mil usuários simultâneos, temos:

- 1.200.000 consultas históricas/minuto
- 800.000 agendamentos/priorizações/minuto
- 400.000 atualizações/inserções/minuto

Estes valores refletem o cenário de maior exigência possível, garantindo que a arquitetura será robusta mesmo sob as condições mais extremas.

## 5.2 Comparativo de Complexidade Computacional

- **Sem estruturas otimizadas:**
  - Consultas e atualizações por busca linear em listas/arrays:  $\mathcal{O}(n)$ , com  $n = 7$  milhões.
  - Agendamento/prioridade em filas simples/listas ordenadas:  $\mathcal{O}(n)$  por operação.
- **Com estruturas avançadas:**
  - **B-Tree:** Busca, inserção e remoção em  $\mathcal{O}(\log_{100} n) \approx 5$  passos.
  - **Segment Tree:** Consultas/atualizações de agregados em  $\mathcal{O}(\log_2 n) \approx 23$  passos.
  - **Heap de Fibonacci:** Inserção e ajuste de prioridade em  $\mathcal{O}(1)$  (amortizado), remoção em  $\mathcal{O}(\log n) \approx 19$  passos.

## B-Tree

Com mais de 7 milhões de registros para um único ativo e múltiplas séries temporais, a B-Tree demonstra sua robustez teórica e prática. Supondo uma ordem típica  $m = 100$  (adequada para armazenamento em disco):

$$h \leq \log_{50} \left( \frac{7 \times 10^6 + 1}{2} \right) \approx 4.6$$

Ou seja, **menos de 5 acessos a nós** para encontrar, inserir ou remover qualquer registro em bases com milhões de linhas.

Mesmo ampliando para centenas de milhões de registros (vários ativos, múltiplos timeframes), a altura da B-Tree cresce lentamente, mantendo o desempenho previsível. A estrutura é naturalmente otimizada para consultas massivas, leitura de janelas históricas (essencial para modelos preditivos) e inserções dinâmicas, permitindo atender centenas de milhares de usuários em paralelo, com baixa latência, graças à minimização de acessos ao disco e à eficiência do balanceamento.

## Heap de Fibonacci

Em um cenário com centenas de milhares de usuários, cada um executando tarefas concorrentes (treinamento de modelos, disparo de previsões, agendamento de análises), o Heap de Fibonacci permite:

- **Gerenciar filas de mais de 10 milhões de tarefas ativas** (ex: uma tarefa por série temporal/modelo/usuário).
- Inserções e ajustes de prioridade quase instantâneos ( $\mathcal{O}(1)$  amortizado).
- Extração eficiente da próxima tarefa prioritária (*delete-min*) com  $\mathcal{O}(\log n)$ , resultando em menos de 25 operações mesmo para 10 milhões de tarefas.

Isso significa que, mesmo sob cargas extremas de uso, o agendamento e a execução das tarefas dos usuários são realizadas sem gargalos, mantendo o tempo de resposta adequado para aplicações financeiras e preditivas em tempo real.

## Segment Tree

Com dezenas de milhões de pontos distribuídos em várias séries temporais (por ativo e timeframe), a Segment Tree se mostra fundamental para:

- **Consultas de agregados em tempo real:** médias móveis, máximos/mínimos locais, volatilidades e outras estatísticas de janelas podem ser calculadas em  $\mathcal{O}(\log n)$ .

- Para  $n = 10^7$  (dez milhões), qualquer consulta ou atualização pontual exige, no máximo, 24 operações na árvore (pois  $h = \lceil \log_2 10^7 \rceil \approx 24$ ).
- **Atualizações dinâmicas:** novos candles ou ajustes de valores são propagados na estrutura quase instantaneamente, sem recalculiar todo o histórico.

No contexto de múltiplos usuários realizando milhares de consultas por segundo, a Segment Tree permite escalabilidade vertical e horizontal, sem degradação perceptível de performance.

### 5.3 Impacto Prático: RAM, CPU e Disco

A seguir, detalhamos o impacto em recursos computacionais nos dois cenários.

#### Premissas:

- **Registros:** 7.000.000
- **Usuários simultâneos:** 400.000
- **Operações por minuto:** 2.400.000 (soma de todas as operações)
- **Tamanho médio do registro:** 128 bytes

#### RAM (memória):

- **Sem estruturas otimizadas:**
  - Apenas dados:  $7.000.000 \times 128 \text{ bytes} = 896 \text{ MB}$
  - Fila de tarefas simples (lista):  $400.000 \times 64 \text{ bytes} = 24.4 \text{ MB}$
  - Total aproximado: 920 MB
- **Com estruturas avançadas:**
  - **B-Tree:** Overhead  $\approx 30\%$  ( $896 \text{ MB} \times 1,3 \approx 1,16 \text{ GB}$ )
  - **Segment Tree:**  $7.000.000 \times 4 \times 24 \text{ bytes} = 672 \text{ MB}$
  - **Heap de Fibonacci:**  $400.000 \times 64 \text{ bytes} = 24.4 \text{ MB}$
  - Total aproximado: 1,8 GB

#### CPU:

- **Sem estruturas:**
  - Cada operação percorre listas inteiras ( $O(n)$ ): cerca de 0,7s por operação.
  - $2.400.000 \text{ operações} \times 0,7\text{s} = 1.680.000\text{s}$  de CPU/minuto

- **Com estruturas:**

- Operações em média  $\approx 5\mu s$  cada (B-Tree, Segment Tree, Heap)
- $2.400.000 \times 5\mu s = 12s de CPU/minuto$

**Disco (I/O):**

- **Sem estruturas:**

- Acesso pode exigir leitura sequencial de listas/arrays inteiros (896 MB por consulta)
- 2.400.000 operações/minuto  $\rightarrow$  potencialmente  $> 2$  PB de leitura/minuto

- **Com estruturas:**

- $\approx 5$  acessos a disco/operação  $\times 4$  KB/acesso = 20 KB/operação
- $2.400.000 \times 20$  KB = 48 GB/minuto

Recurso	Sem estruturas	Com estruturas	Ganho prático
Memória (RAM)	$\sim 920$ MB	$\sim 1,8$ GB	+RAM, porém acesso instantâneo e menos swap/cache sujo
CPU (por min)	1.680.000 s	<b>12 s</b>	<b>99,99%</b> menos CPU, roda em <b>1 núcleo</b> com folga
Disco (I/O)	Até 896 MB/operação	<b>20 KB/operação</b>	<b>45x menos leitura/-gravação</b> , evita gargalos

Tabela 1 – Comparativo de uso de recursos: listas/arrays versus estruturas otimizadas.

## 5.4 Resumo Numérico de Tempo de Operação

Operação	Qtd./min	Sem estrutura	Com estrutura
Consulta histórica	1.200.000	840.000 s	6 s
Atualização/inserção	400.000	280.000 s	2 s
Agendamento/prioridade	800.000	32.000 s	0,8 s
<b>Total (1 min)</b>	<b>2.400.000</b>	<b>1.152.000 s</b>	<b>8,8 s</b>

Tabela 2 – Tempo de processamento (1 minuto), com e sem estruturas avançadas.

## 5.5 Conclusão Comparativa e Impacto Real

A simulação evidencia que o uso combinado de B-Tree, Heap de Fibonacci e Segment Tree proporciona ao framework Nahas a capacidade de lidar eficientemente com grandes

volumes de dados e altas taxas de concorrência, mesmo em cenários extremos de demanda. Todas as operações críticas como consultas, inserções, atualizações e agendamento de tarefas mantiveram desempenho previsível e baixa latência, confirmando a robustez das estruturas em aplicações financeiras de alta escala.

Vale destacar que, embora haja um aumento no consumo de RAM devido ao overhead das estruturas otimizadas, o ganho em velocidade de processamento, escalabilidade e redução dos gargalos de CPU e disco é exponencialmente superior. Ou seja, o custo extra em memória se traduz em um sistema muito mais rápido, previsível e economicamente viável para ambientes de produção real.

Assim, a arquitetura proposta atende plenamente aos requisitos de escalabilidade, eficiência computacional e viabilidade operacional necessários para ambientes reais de mercado financeiro digital.

## 6 Conclusão

A escolha criteriosa das estruturas de dados é um dos pilares fundamentais para a construção de sistemas de alta performance, especialmente em contextos como o mercado financeiro, onde grandes volumes de dados e altos índices de concorrência são a regra, não a exceção. Este trabalho analisou três estruturas avançadas B-Tree, Heap de Fibonacci e Segment Tree e demonstrou, tanto em nível teórico quanto prático, como cada uma se destaca em diferentes dimensões do problema.

A **B-Tree** mostrou-se altamente eficaz para armazenamento e recuperação de grandes séries temporais ordenadas, otimizando o uso de memória secundária e garantindo acesso rápido mesmo em bases massivas.

O **Heap de Fibonacci** foi essencial para o gerenciamento dinâmico de prioridades, destacando-se em cenários de escalonamento intenso de tarefas e operações concorrentes.

A **Segment Tree** comprovou sua versatilidade no processamento e agregação eficiente de métricas móveis e dados em tempo real, sustentando rotinas fundamentais para modelos preditivos e análises exploratórias.

A análise comparativa e a validação prática demonstraram que a integração dessas estruturas permite ao Nohas atingir:

- **Escalabilidade e eficiência** mesmo sob demandas massivas;
- **Baixa latência e alta concorrência**, com suporte a múltiplos usuários e operações simultâneas;
- **Robustez e flexibilidade** para adaptação a diferentes mercados, ativos e requisitos operacionais;



- **Apoio sólido para inteligência artificial**, viabilizando operações eficientes para modelos preditivos em produção.

Dessa forma, conclui-se que o domínio e a aplicação de estruturas de dados avançadas são requisitos estratégicos para sistemas modernos e escaláveis. O framework Nahas, ao adotar tais estruturas, encontra-se tecnicamente preparado para acompanhar o crescimento e a complexidade do mercado financeiro, oferecendo desempenho, segurança e inovação alinhados à demanda contemporânea de dados.

## Referências

- BARTH, L.; WAGNER, D. Zipping segment trees. *arXiv preprint arXiv:2004.03206*, 2020.
- BHATTARAI, D. *Towards Scalable Parallel Fibonacci Heap Implementation*. [S.l.], 2018. Disponível em: <[https://repository.stcloudstate.edu/csit\\_etds/24/](https://repository.stcloudstate.edu/csit_etds/24/)>.
- COMER, D. The ubiquitous b-tree. *ACM Computing Surveys (CSUR)*, ACM, v. 11, n. 2, p. 121–137, 1979. Disponível em: <<https://doi.org/10.1145/356770.356776>>.
- FREDMAN, M. L.; TARJAN, R. E. Fibonacci heaps and their uses in improved network optimization algorithms. *Journal of the ACM (JACM)*, v. 34, n. 3, p. 596–615, 1987. Disponível em: <<https://doi.org/10.1145/28869.28874>>.
- JENSEN, C. S.; LIN, D.; OOI, B. C. Query and update efficient b+-tree based indexing of moving objects. In: *Proceedings of the 30th International Conference on Very Large Data Bases (VLDB)*. [s.n.], 2004. p. 768–779. Disponível em: <<https://www.vldb.org/conf/2004/RS20P3.PDF>>.
- KIM, B.; KIM, G.; LEE, D. A novel b-tree index with cascade memory nodes for improving sequential write performance on flash storage devices. *Applied Sciences*, v. 10, n. 3, p. 747, 2020.
- LIPSA, S. et al. Task scheduling in cloud computing: A priority-based heuristic approach. *IEEE Access*, PP, p. 1–1, 01 2023.
- MUKHALEVA, N.; GRIGOREV, V.; CHERNISHEV, G. *Implementing Window Functions in a Column-Store with Late Materialization*. [S.l.], 2022. Extended version. Disponível em: <<https://arxiv.org/abs/2208.03586>>.
- NASCIMENTO, I. M. *Data Structures Nahas: Implementação de B-Tree, Heap de Fibonacci e Segment Tree para grandes volumes de dados financeiros*. 2025. <[https://github.com/IMNascimento/Data\\_Structures\\_Nahas](https://github.com/IMNascimento/Data_Structures_Nahas)>. Repositório de código e simulações complementares ao relatório científico do framework Nahas.
- WANG, L.; WANG, X. *A Simple and Space Efficient Segment Tree Implementation*. 2018. ArXiv preprint arXiv:1807.05356. Disponível em: <<https://arxiv.org/pdf/1807.05356>>.